輪石の開閉を伴う石橋の揺れ運動方程式の係数βを求める式

(株) 建設プロジェクトセンター正員筒井光男熊本大学フェロー山尾敏孝福岡大学正員坂田 カ

1. はじめに

輪石のみの石橋が、輪石の開閉を伴って揺れる運動方程式として「 $\ddot{y}=-\beta g$ 」を提案した $^{1)}$ 。式中のyは鉛直座標、gは重力加速度、 β は揺れの状態を代表する係数である。 β はアーチ輪石が崩壊する橋軸方向水平震度にあたり、模型傾斜崩壊実験で求めることができる。こ

こでは、崩壊水平震度としてβを求める方法を提案する。

2. 仮定と手順

アーチ輪石形状は円弧が多く、輪石のみアーチの軸力線はカ テナリーであるが、計算上まず、放物線と近似し、軸力線は輪 石厚中心に有るとして式を進め、後に形状の違いを考慮する。

- 1) 図-1に示すアーチに水平荷重が作用すると、曲げモーメントが大きい起拱部(図 $-2A\cdot B$ 点)の軸力線が偏心し輪石の端部に移動する。さらに荷重を増すと、起拱部の軸力線は端部のままで、支間Lの1/4点付近($C\cdot D$ 点)の軸力線の偏心が大きくなり、輪石端部に至り、4 ヒンジとなって崩壊する。
- 2) 起拱部軸力線が輪石端部に来ると、反力の作用位置が輪石厚 Tの1/2だけ偏心するため、端モーメントMtが発生する(図-3)。このモーメントは起拱部を離れるに従い減少し、クラウンで零になる(図-3)。このモーメントが崩壊に対する抵抗を増加させることを考慮する。
- 3)輪石が自立できるかどうかは、輪石のみのアーチ軸力線であるカテナリーと、実アーチの円弧との偏心量を用いて判定できる。起拱部とクラウンを共有するカテナリーと円の差を δ とするとき、輪石厚が δ であればヒンジが4個以上となり、自立しない(図-4)。図-4は、中心角 θ が106°と半円の場合を、中心軸を境に半分ずつ示している。これを踏まえ、軸力線偏心の影響を、偏心量だけ輪石厚が小さいと見なす方法1)で考慮する。

3. 式の展開

等分布水平荷重 q を受ける 2 ヒンジアーチのL/4点付近の曲げモーメントMaは約 $qf^2/4$ である(f はライズ)(図-5)。L/4 点付近の傾きを α_1 、起拱部の傾きを α_2 とする。このとき、L/4点付近の抵抗モーメントは、式(1)となる。式中のHはアーチ水平力である。端モーメントMtは軸力にT/2を乗じた値となる(図-3)。このMtには、実形状である円弧と軸力線である放物線の角度差を考慮する(式(2)、図-6)。MtはL/4点付近では1/2になると考える。このとき、L/4点の抵抗モーメントは両者を加えた式(3)となる。

$$M_{r1} = \frac{H \cdot T}{2\cos\alpha_1} \qquad (1) \qquad M_t = \frac{H \cdot T \cdot \tan\alpha_2}{2 \cdot \sin(\frac{\theta}{2})} \qquad (2)$$

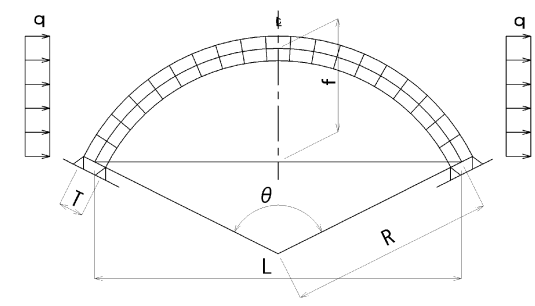


図-1 計算モデル



図-2 水平荷重による曲げモーメント

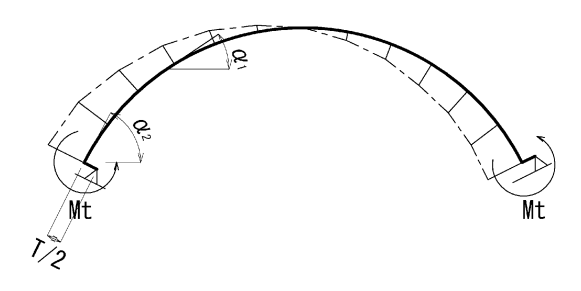


図-3 端モーメントとM図

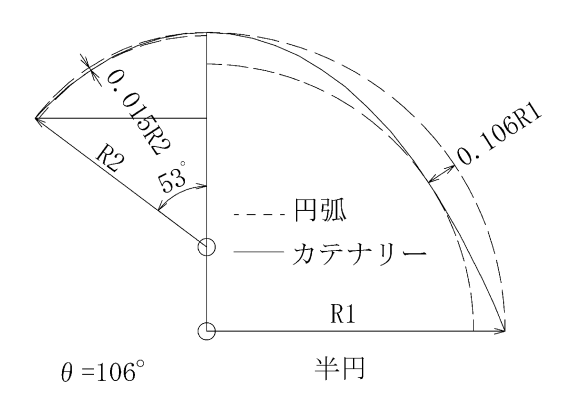


図-4 カテナリーと円の差

$$Mr = H \cdot T \left(\frac{1}{2\cos\alpha_1} + \frac{\tan\alpha_2}{4 \cdot \sin(\frac{\theta}{2})} \right)$$
 (3)

作用モーメントMaと式(3)が等しいと置く。このとき、 $H=wL^2/(8f)$ 、式中のwは輪石自重、水平震度をk、 $q=w\cdot L\cdot k/(2f)$ と近似し、Lとfを極座標表示すると、

$$k = \frac{T}{R(1-\cos(\frac{\theta}{2}))^2} \left(\sqrt{2(1-\cos(\frac{\theta}{2}))} + \frac{1-\cos(\frac{\theta}{2})}{\sin(\frac{\theta}{2})}\right)$$
(4)

R はアーチ半径である。抵抗モーメントと作用モーメントが一致するときの水平加速度は β であること、さらに、偏心の影響を考慮すると、次式となる。

$$\beta = \frac{T - \delta}{R(1 - \cos(\frac{\theta}{2}))^2} \left(\sqrt{2(1 - \cos(\frac{\theta}{2}))} + \frac{1 - \cos(\frac{\theta}{2})}{\sin(\frac{\theta}{2})} \right)$$
 (5)

これが β を求める式である。式は中心角 θ 、輪石厚 T、半径 R および偏心量 δ の関数となった。

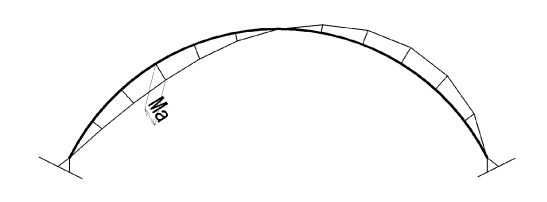


図-5 2ヒンジアーチ作用モーメント

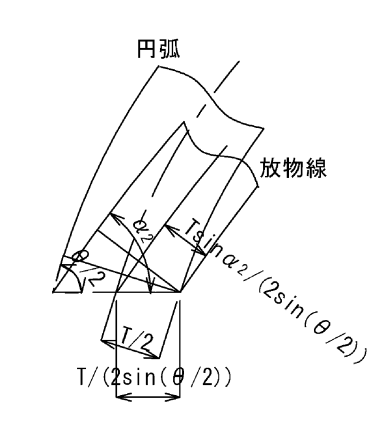


図-6 基部寸法取合

4. 数值計算

 δ/R は106度のとき0.015、180度で 0.106である 1 (図 $^{-}$ 4)、2点を直線補間・延長して求め、中心角 θ =100° から 180° までの数値を入れると、式(5)は図 $^{-}$ 7となる。図では、中心角 θ が小さくなると β は大きくなることが判る。グラフ下端は β =0であり、各中心角に対応する δ の値となっている。なお、図には文献(1)の模型傾斜実験結果も示しているが、両者はほぼ一致している。

5. アーチ形状が正円ではない時アーチ形状が正円ではない場合でも、図-4の方法で偏心量 δ を求め、必要に応じて図-6の取り合いから決まる式(2)を修正すれば、対応する β を求めることができるものと考える。同様に非対称の場合の耐震性判定にも利用できると考えられるが、その場合は加速の方向により β が異なる。

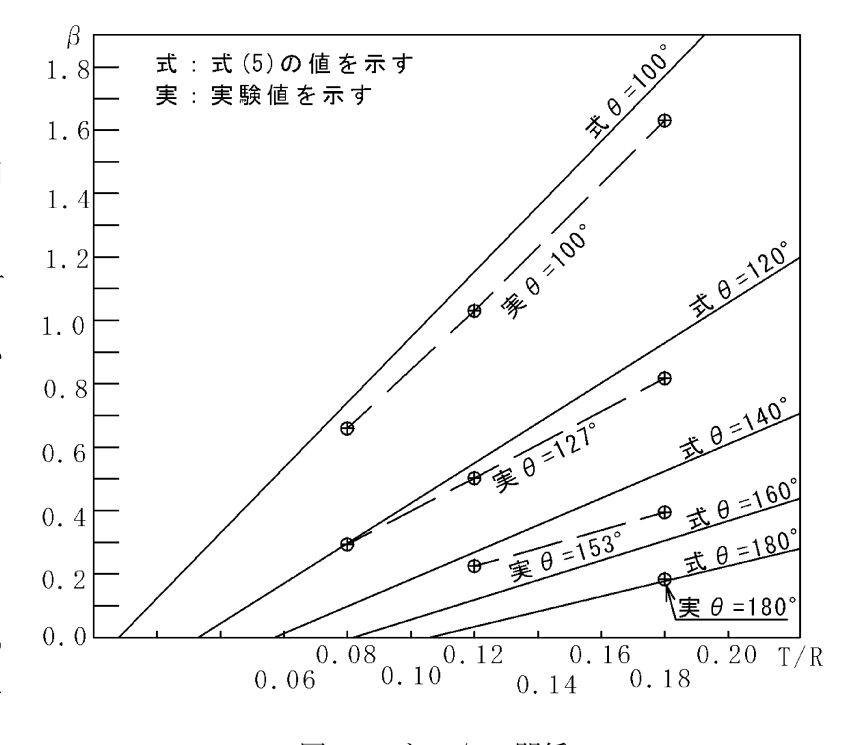


図-7 β と T/Rの関係

6. まとめ

輪石のみの石橋が輪石の開閉を伴って揺れる運動方程式の係数 β を求める式を作成した。 β は石橋の半径 R・中心角 θ ・輪石厚 T そして、輪石形状である円とカテナリーの差 δ の関数となった。文献 1)の模型実験結果ともほぼ一致している。 β は石橋が崩壊するときの橋軸方向水平水震度でもあるため、架設時や改修時の耐震性の確認に利用できる。

参考文献

1) 筒井、輪石の開閉を伴って揺れる石橋の安定性について、土木構造・材料論文集、35号、2019.12